

## Elektrische Eigenschaften

## Electrical properties

Höchstzulässige Werte		Maximum rated values				
Periodische Vorwärts- und Rückwärts-SpitzenSperrspannung	repetitive peak forward off-state and reverse voltages	$t_{vj} = -40^\circ\text{C} \dots t_{vj,\text{max}}$	$V_{\text{DRM}}, V_{\text{RRM}}$	800, 1000 1100, 1200 1300, 1400*	V v v	
Vorwärts-Stoßspitzen-Sperrspannung	non repetitive peak forward off-state voltage	$t_{vj} = -40^\circ\text{C} \dots t_{vj,\text{max}}$	$V_{\text{DSM}} = V_{\text{DRM}}$			
Rückwärts-Stoßspitzen-Sperrspannung	non repetitive peak reverse voltage	$t_{vj} = +25^\circ\text{C} \dots t_{vj,\text{max}}$	$V_{\text{RSM}} = V_{\text{RRM}}$	+ 100	v	
Durchlaßstrom-Grenzeffektivwert	RMS on-state current	$t_C = 85^\circ\text{C}$	$I_{\text{TRMSM}}$	300	A	
Dauergrenzstrom	average on-state current	$t_C = 54^\circ\text{C}$	$I_{\text{TAVM}}$	128	A	
		$t_c = 54^\circ\text{C}$		191	A	
Stoßstrom-Grenzwert	surge current	$t_s = 25^\circ\text{C}, t_p = 10 \text{ ms}$ $t_{vj} = t_{vj,\text{max}}, t_p = 10 \text{ ms}$	$I_{\text{TSM}}$	2800 2450	A A	
Grenzlastintegral	$I^2t$ -value	$t_{vj} = 25^\circ\text{C}, t_p = 10 \text{ ms}$ $t_{vj} = t_{vj,\text{max}}, t_p = 10 \text{ ms}$	$I^2t$	39200 30000	A's A's	
Kritische Stromsteilheit	critical rate of rise of on-state current	$V_D \leq 67\% V_{\text{DRM}}, f = 50 \text{ Hz}$	$(di/dt)_{\text{cr}}$	160	A/ $\mu\text{s}$	
Kritische Spannungssteilheit	critical rate of rise of off-state voltage	$i_{\text{GM}} = 0,6 \text{ A}, di_{\text{G}}/dt = 0,6 \text{ A}/\mu\text{s}$ $t_{vj} = t_{vj,\text{max}}, V_D = 67\% V_{\text{DRM}}$	$(dv/dt)_{\text{cr}}$	1) 2)	V/ $\mu\text{s}$	
			C*:	500 500	V/ $\mu\text{s}$	
			L:	500 50	V/ $\mu\text{s}$	
			M*:	1000 1000	V/ $\mu\text{s}$	

## Charakteristische Werte

## Characteristic values

Durchlaßspannung	on-state voltage	$t_{vj} = t_{vj,\text{max}}, i_T = 600 \text{ A}$	$V_T$	max.	2,6	V
Schleusenspannung	threshold voltage	$t_{vj} = t_{vj,\text{max}}$	$V_{\text{T(TO)}}$		1,28	V
Ersatzwiderstand	slope resistance	$t_{vj} = t_{vj,\text{max}}$	$r_T$		2,15	m $\Omega$
Zündstrom	gate trigger current	$t_s = 25^\circ\text{C}, V_D = 12 \text{ V}$	$I_{\text{GT}}$	max.	150	mA
Zündspannung	gate trigger voltage	$t_{vj} = 25^\circ\text{C}, V_D = 12 \text{ V}$	$V_{\text{GT}}$	max.	2	v
Nicht zündender Steuerstrom	gate non-trigger current	$t_{vj} = t_{vj,\text{max}}, V_D = 12 \text{ V}$	$I_{\text{GD}}$	max.	10	mA
Nicht zündende Steuerspannung	gate non-trigger voltage	$t_{vj} = t_{vj,\text{max}}, V_D = 0,5 V_{\text{DRM}}$	$V_{\text{GD}}$	max.	0,25	V
Haltestrom	holding current	$t_s = 25^\circ\text{C}, V_D = 12 \text{ V}, R_A = 10 \Omega$	$I_H$	max.	250	mA
Einraststrom	latching current	$t_s = 25^\circ\text{C}, V_D = 12 \text{ V}, R_{\text{GK}} \geq 10 \Omega$	$I_L$	max.	1	A
Vorwärts- u. Rückwärts-Sperrstrom	forward off-state and reverse Currents	$i_{\text{GM}} = 0,6 \text{ A}, di_{\text{G}}/dt = 0,6 \text{ A}/\mu\text{s}, t_g = 20 \mu\text{s}$	$i_D, i_R$	max.	30	mA
Zündverzug	gate controlled delay time	$t_{vj} = t_{vj,\text{max}}, V_D = V_{\text{DRM}}, V_R = V_{\text{RRM}}$	$t_{\text{gd}}$	max.	1,4	$\mu\text{s}$
Freiwerdezeit	circuit commutated turn-off time	$t_{vj} = 25^\circ\text{C}, i_{\text{GM}} = 0,6 \text{ A}, di_{\text{G}}/dt = 0,6 \text{ A}/\mu\text{s}$ siehe Techn. Erl./see Techn. Inf.	$t_s$ , S: E: F:	max.	18 20 25	$\mu\text{s}$

## Thermische Eigenschaften

## Thermal properties

Innerer Wärmewiderstand für beidseitige Kühlung	thermal resistance, junction to case for two-sided cooling	$\Theta = 180^\circ \text{ el, sin}$	$R_{\text{thJC}}$	max.	0,163	$^\circ\text{C}/\text{W}$
für anodenseitige Kühlung	for anode-sided cooling	$\Theta = 180^\circ \text{ el, sin}$	$R_{\text{thJC(A)}}$	max.	0,143	$^\circ\text{C}/\text{W}$
für kathodenseitige Kühlung	for cathode-sided cooling	$\Theta = 180^\circ \text{ el, sm}$	$R_{\text{thJC(K)}}$	max.	0,246	$^\circ\text{C}/\text{W}$
Übergangs-Wärmewiderstand	thermal resistance, case to heatsink	beidseitig/two-sided einseitig/one-sided	$R_{\text{thCK}}$	max.	0,226	$^\circ\text{C}/\text{W}$
Höchstzul. Sperrschiitttemperatur	max. junction temperature			max.	0,406	$^\circ\text{C}/\text{W}$
Betriebstemperatur	Operating temperature			max.	0,386	$^\circ\text{C}/\text{W}$
Lagertemperatur	storage temperature			max.	0,015	$^\circ\text{C}/\text{W}$
				max.	0,03	$^\circ\text{C}/\text{W}$
			$t_{vj,\text{max}}$			125°C
			$t_{\text{c op}}$			- 40 ... + 125°C
			$t_{\text{stg}}$			- 40 ... + 140°C

## Mechanische Eigenschaften

## Mechanical properties

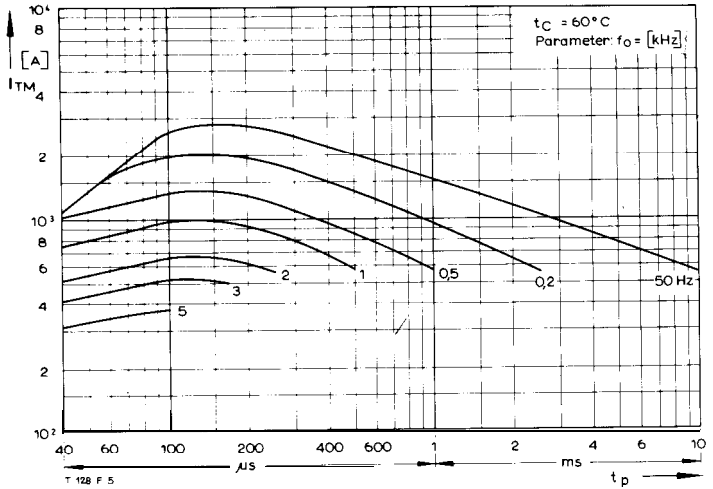
Si-Element mit Druckkontakt	Si-pellet with pressure contact				3 ... 6	kN
Anpreßkraft	Clamping force			F		
Gewicht	weight			G	typ.	70 g
Kriechstrecke	Creepage distance					17 mm
Feuchtekategorie	humidity classification	DIN 40040				C
Schwingfestigkeit	Vibration resistance	$f = 50 \text{ Hz}$				50 m/s <sup>2</sup>
Maßbild	outline	DIN 41814-151A4				Seitelpage 154

\* Für größere Stückzahlen bitte Liefertermin erfragen/Delivery for larger quantities on request

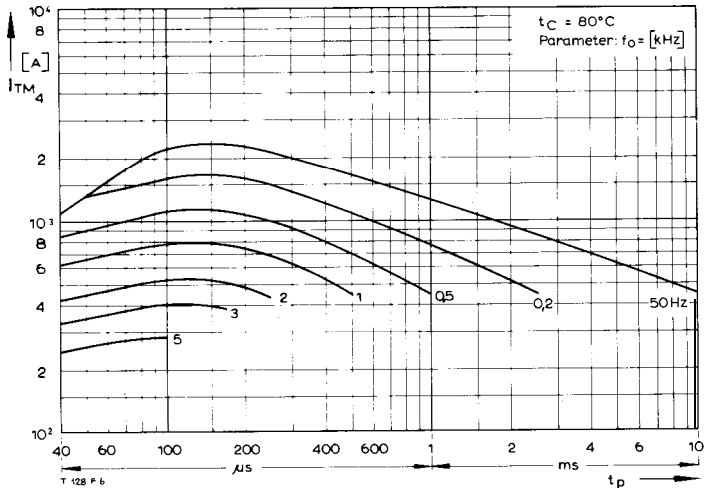
1) Werte nach DIN IEC 747-6 (ohne vorausgehende Kommutierung)/Values to DIN IEC 747-6 (without prior commutation)

2) Unmittelbar nach der Freiwerdezeit, vgl. Meßbedingungen für  $t_q$ /Immediately after circuit commutated turn-off time, see Parameters  $t_q$

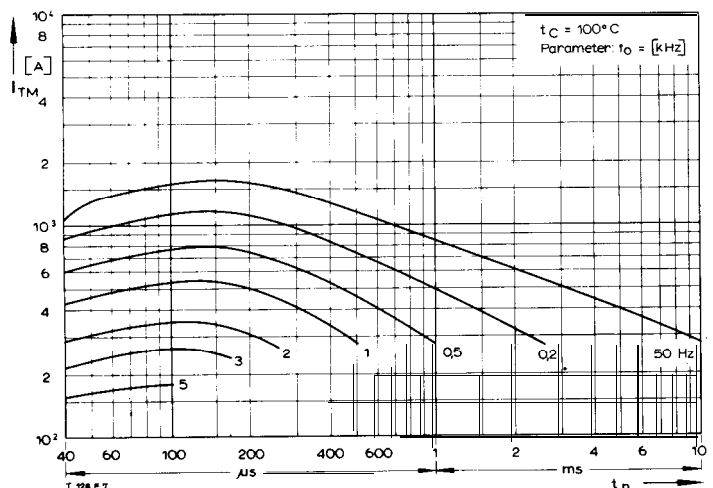
# T 128 F



Bild/Fig. 1



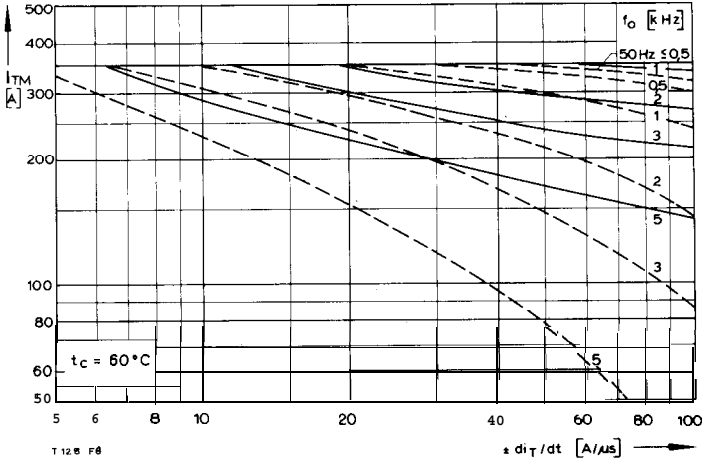
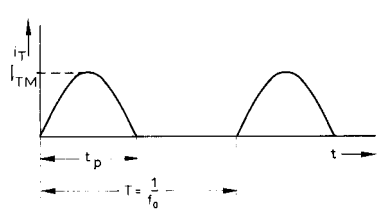
Bild/Fig. 2



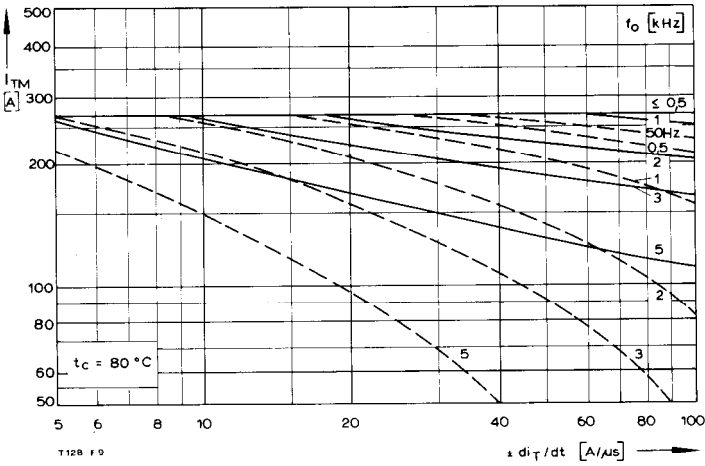
Bild/Fig. 3

Bild/Fig. 1, 2, 3  
Steuergenerator/pulse generator:  
 $I_G = 0,6 \text{ A}$ ,  $di_G/dt = 0,6 \text{ A}/\mu\text{s}$

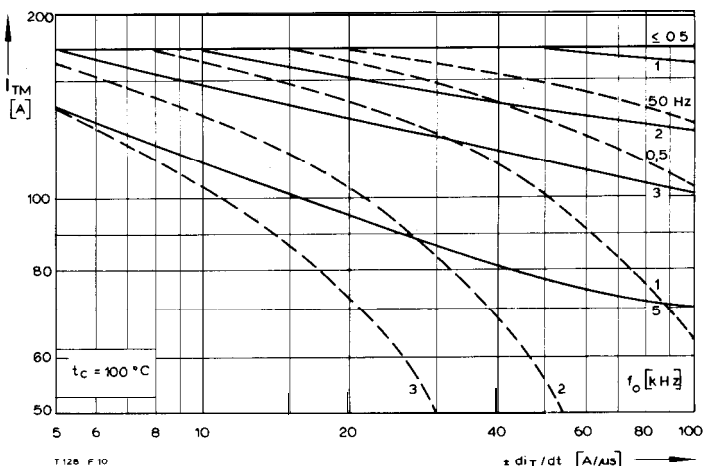
RC-Glied/RC-network:  
 $Ft [\Omega] \geq 0,02 V_{DM} [\text{V}]$   
 $C \leq 0,15 \mu\text{F}$   
 $V_{DM} \leq 0,67 V_{DRM}$



Bild/Fig. 4



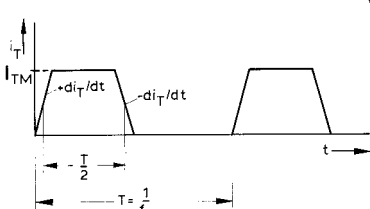
Bild/Fig. 5



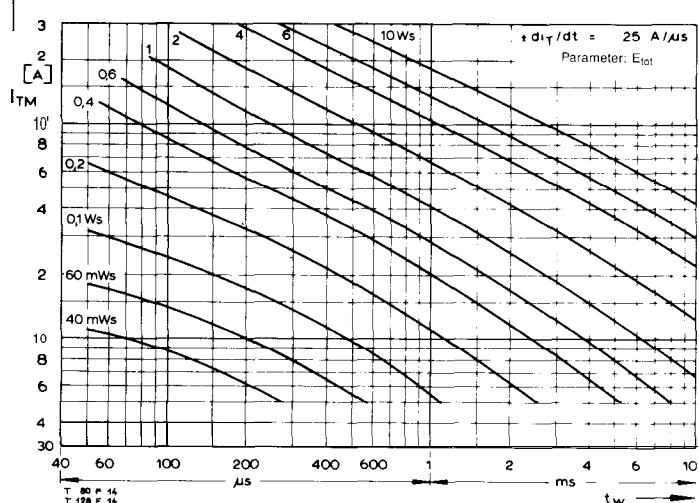
Bild/Fig. 6

Bild/Fig. 4, 5, 6  
Steuergenerator/pulse generator:  
 $I_G = 0,6 \text{ A}$ ,  $di_G/dt = 0,6 \text{ A}/\mu\text{s}$

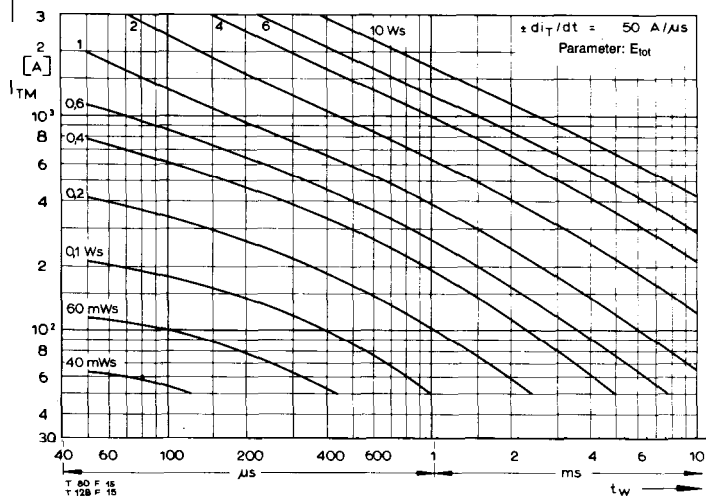
RC-Glied/RC-network:  
 $Ft [\Omega] \geq 0,02 V_{DM} [\text{V}]$   
 $C \leq 0,22 \mu\text{F}$   
 $V_{DM} \leq 0,67 V_{DRM}$   
 $dv_R/dt \leq 600 \text{ V}/\mu\text{s}$   
 $V_{RM} \leq 0,67 V_{RRM}$



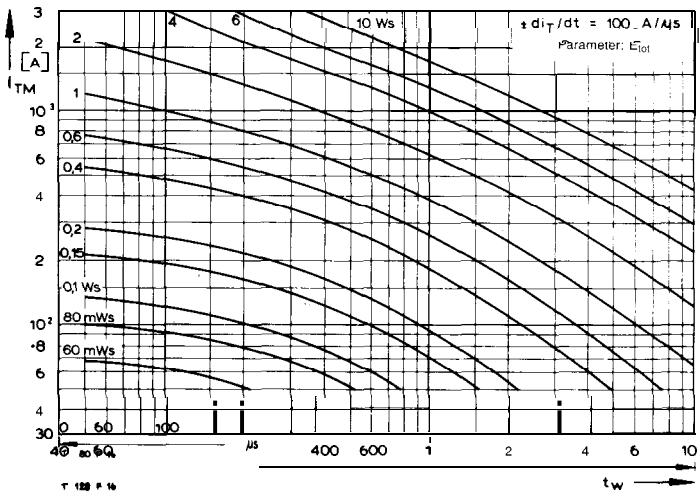
# T 128 F



Bild/Fig. 10



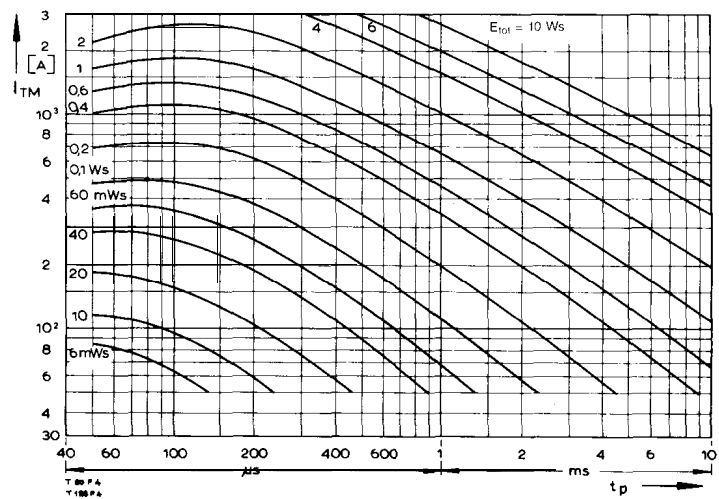
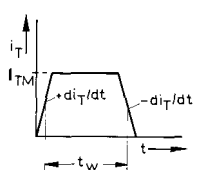
Bild/Fig. 11



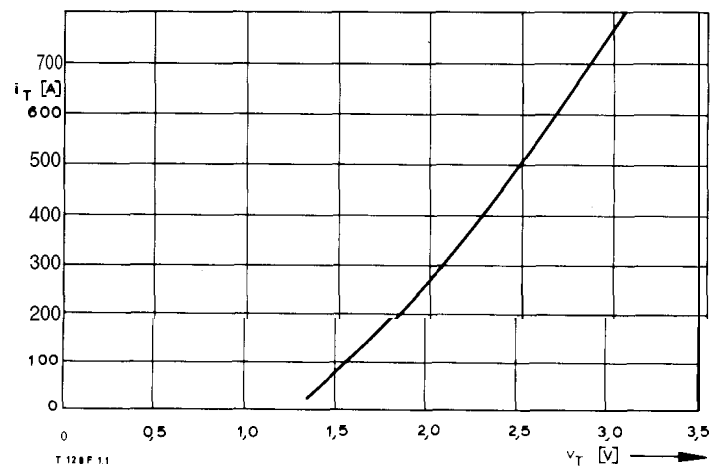
Bild/Fig. 12

Bild/Fig. 10, 11, 12  
Steuergenerator/pulse generator:  
 $i_G = 0.6 \text{ A}$ ,  $di_G/dt = 0.6 \text{ A}/\mu\text{s}$

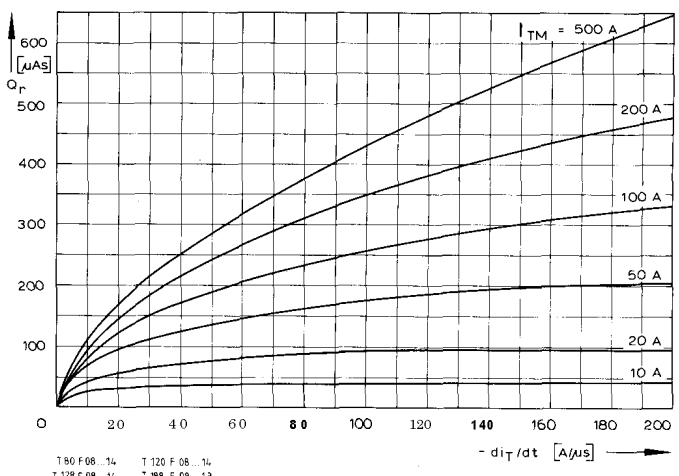
RC-Glied/RC-network:  
 $R [\Omega] \geq 0.02 V_{DM} [\text{V}]$   
 $C \leq 0.22 \mu\text{F}$   
 $V_{DM} \leq 0.67 V_{DRM}$   
 $dv_R/dt \leq 600 \text{ V}/\mu\text{s}$   
 $V_{RM} \leq 0.67 V_{RRM}$



Bild/Fig. 13



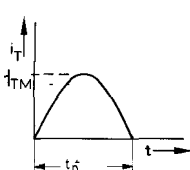
Bild/Fig. 14



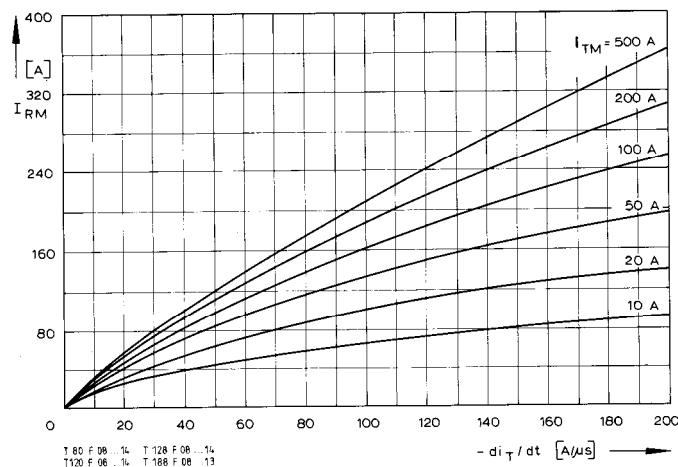
Bild/Fig. 15

(zu Bild/Fig. 13)  
Steuergenerator/pulse generator:  
 $i_G = 0.6 \text{ A}$ ,  $di_G/dt = 0.6 \text{ A}/\mu\text{s}$

RC-Glied/RC-network:  
 $R [\Omega] \geq 0.02 V_{DM} [\text{V}]$   
 $C \leq 0.22 \mu\text{F}$

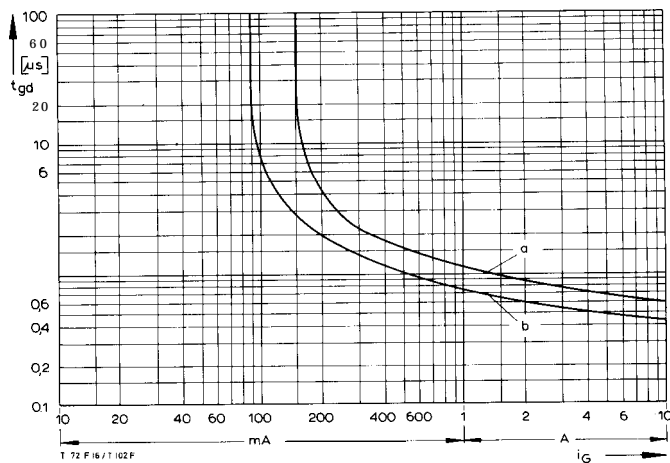


# T 128 F



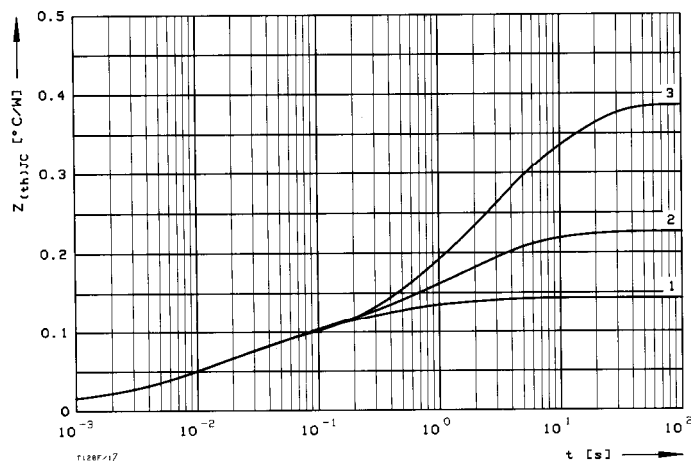
Bild/Fig. 16

Rückstromspitze  $I_{RM} = f(-di/dt)$ ,  $t_{vj} = t_{vj(\max)}$ ,  $V_R = 0.5 V_{RRM}$ ,  $V_{RM} = 0.8 V_{RRM}$   
Peak reverse recovery current  $I_{RM} = f(-di/dt)$ ,  $t_{vj} = t_{vj(\max)}$ ,  $V_R = 0.5 V_{RRM}$ ,  $V_{RM} = 0.8 V_{RRM}$   
Parameter: Durchlaßstrom/On-state current  $I_{DM}$



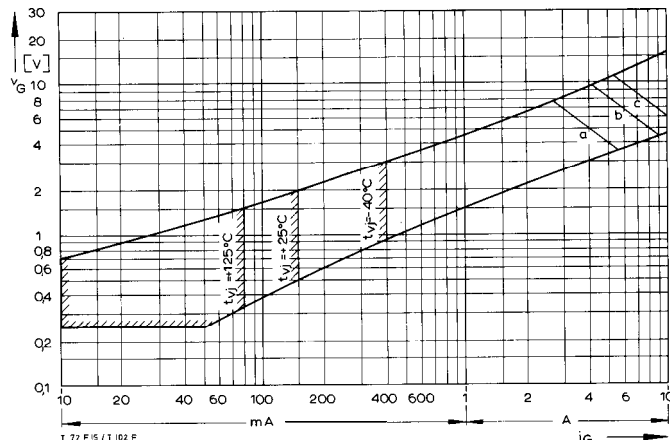
Bild/Fig. 18

Zündverzug/Gate controlled delay time  $t_{gd} = f(i_{DM})$ ,  $t_{vj} = 25^\circ C$ ,  $di_G/dt = i_{DM}/1\mu s$   
a — Maximaler Verlauf/Limiting Characteristic  
b — Typischer Verlauf/typical characteristic



Bild/Fig. 17

Transienter innerer Wärmewiderstand  $Z_{thJC} = f(t)$ , DC  
Transient thermal impedance  $Z_{thJC} = f(t)$ , DC  
1 Beidseitige Kühlung/two-sided cooling  
2 Anodenseitige Kühlung/anode side cooling  
3 Kathodenseitige Kühlung/cathode side cooling



Bild/Fig. 19

Steuercharakteristik mit Zündbereichen/Gate Characteristic with triggering areas  
 $V_G = f(i_G)$ ,  $V_D = 12 V$

Parameter:	a	b	c
Steuerimpulsdauer/Trigger pulse duration $t_g$ [ms]	10	1	0,5
Höchstzulässige Spitzesteuerverlustleistung/ Max. rated peak gate power dissipation $P_{GM}$ [W]	20	40	60

Analytische Elemente des transientes Wärmewiderstandes  $Z_{thJC}$  für DC  
Analytical elements of transient thermal impedance  $Z_{thJC}$  for DC

Kühlung cooling	Pos. n	1	2	3	4	5	6	7
beidseitig two-sided	$R_{thn} [^\circ C/W]$	0,011	0,00585	0,0342	0,0485	0,0312	0,0122	
	$\tau_n [s]$	0,000458	0,00578	0,00807	0,0483	0,292	1,864	
anodenseitig anode-sided	$R_{thn} [^\circ C/W]$	0,0109	0,00798	0,034	0,0428	0,0399	0,0702	0,02
	$\tau_n [s]$	0,000455	0,00497	0,00899	0,047	0,366	2,14	9,1
kathodenseitig cathode-sided	$R_{thn} [^\circ C/W]$	0,0106	0,0216	0,0503	0,0578	0,133	0,112	
	$\tau_n [s]$	0,000439	0,00514	0,0213	0,394	2,3	12	

Analytische Funktion/analytical function:

$$Z_{thJC} = \sum_{n=1}^{n_{max}} R_{thn} (1 - \exp(-t/t_n))$$